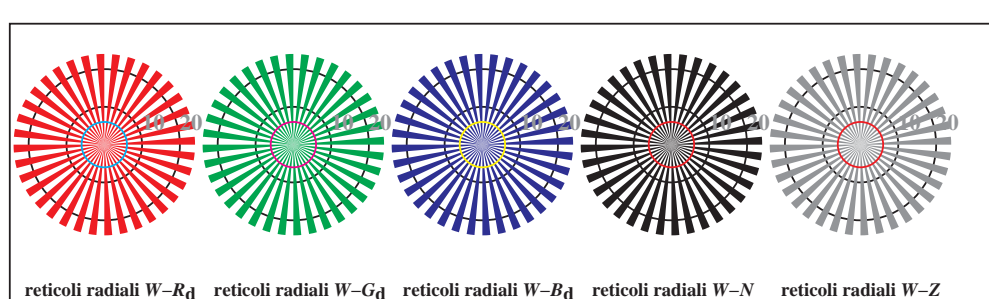


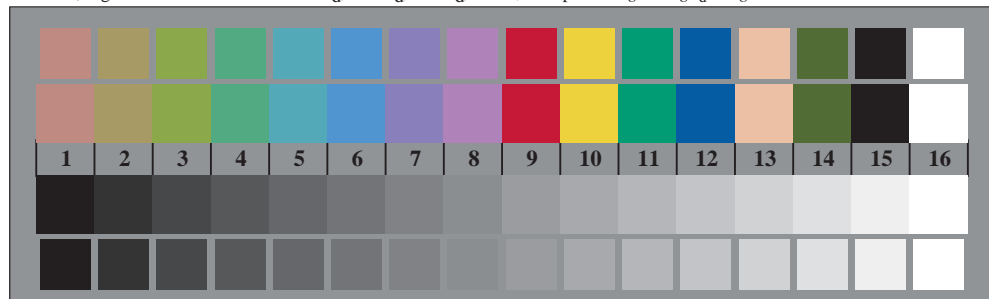
TI851-1, Fig. D4Wd: 16 equidistant passi  $W-R_d$ ;  $W-G_d$ ;  $W-B_d$ ;  $W-N$ ;  $rgb/cmy0 \rightarrow rgb_d$  setrgbcolor

+:-.	Q	O	C	O	C	O	lmno	O	C	O	C	O	pqrs	O	C	O	C	O	tuvw	O	C	O	C	O	O	C	O	C	O	C	O	C
xyz;	O	C	O	C	O	C	hijk	O	C	O	C	O	lmno	O	C	O	C	O	pqrs	O	C	O	C	O	O	C	O	C	O	C	O	C
tuvw	O	C	O	C	O	C	defg	O	C	O	C	O	hijk	O	C	O	C	O	lmno	O	C	O	C	O	O	C	O	C	O	C	O	C
pqrs	O	C	O	C	O	C	!abc	O	C	O	C	O	+:-.	O	C	O	C	O	xyz;	O	C	O	C	O	O	C	O	C	O	C	O	C
lmno	O	C	O	C	O	C	+:-.	O	C	O	C	O	tuvw	O	C	O	C	O	defg	O	C	O	C	O	O	C	O	C	O	C	O	C
hijk	C	O	C	O	C	O	xyz;	O	C	O	C	O	!abc	O	C	O	C	O	tuvw	O	C	O	C	O	O	C	O	C	O	C	O	C
defg	O	C	O	C	O	C	tuvw	O	C	O	C	O	defg	O	C	O	C	O	!abc	O	C	O	C	O	O	C	O	C	O	C	O	C
!abc	O	C	O	C	O	C	pqrs	O	C	O	C	O	!abc	O	C	O	C	O	tuvw	O	C	O	C	O	O	C	O	C	O	C	O	C
10	N	R <sub>d</sub>	G <sub>d</sub>	B <sub>d</sub>	Z		8	N	R <sub>d</sub>	G <sub>d</sub>	B <sub>d</sub>	Z	6	N	R <sub>d</sub>	G <sub>d</sub>	B <sub>d</sub>	Z		N	R <sub>d</sub>	G <sub>d</sub>	B <sub>d</sub>	Z								

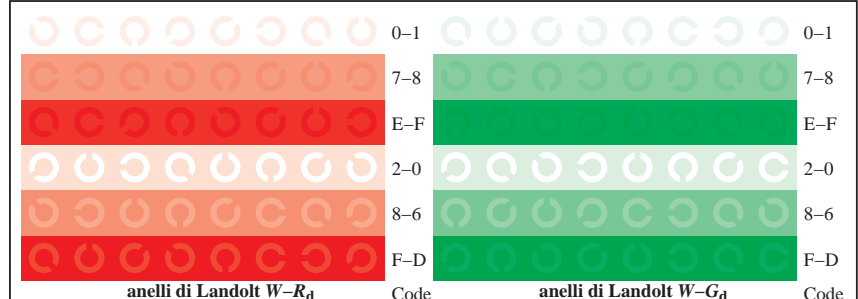
TI851-3, Fig. D5Wd: codice i Landolt anelli  $N$ ;  $R_d$ ;  $G_d$ ;  $B_d$ ;  $Z$ ; PS operator  $rgb \rightarrow rbg_d$  setrgbcolor



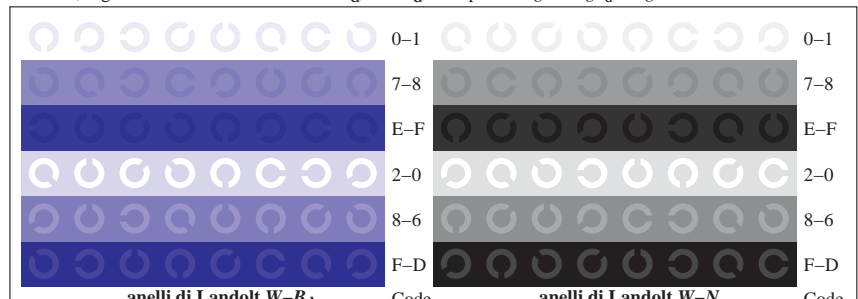
TI850-5, Fig. D2Wd: reticolli radiali  $W-R_d$ ;  $W-G_d$ ;  $W-B_d$ ;  $W-N$ ; PS operator  $rgb \rightarrow rgb_d$  setrgbcolor



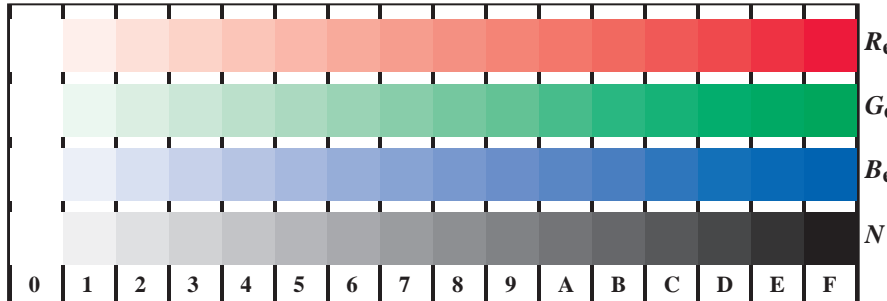
TI850-7, Fig. D3Wd: 14 prova colori CIE i 2 + 16 grigio passi (sf); *rgb/cmy0->rgb<sub>d</sub>* setrgbcolor



TI851-5, Fig. D6Wd: anelli di Landolt  $W-R_d$ ;  $W-G_d$ ; PS operator  $rgb \rightarrow rgb_d$  setrgbcolor



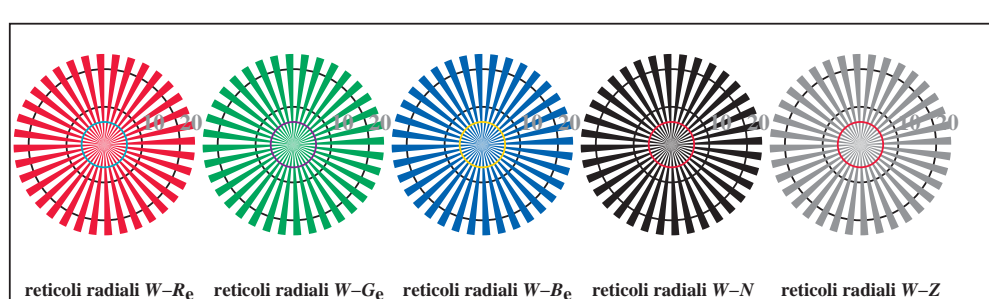
TI851-7, Fig. D7Wd: anelli di Landolt  $W-B_d$ ;  $W-N$ ; PS operator  $rgb \rightarrow rgb_d$  setrgbcolor



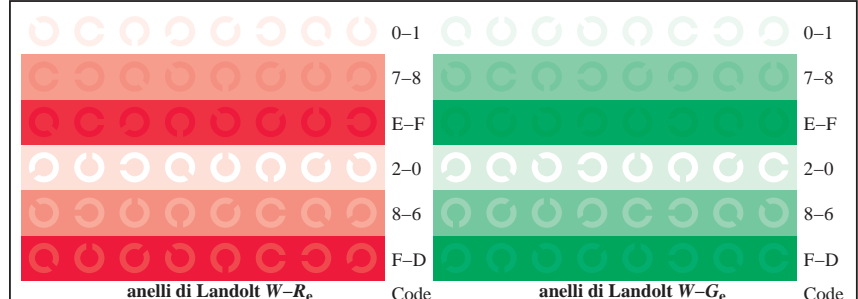
TI851-1, Fig. D4We: 16 equidistante passi  $W-R_E$ ;  $W-G_E$ ;  $W-B_E$ ;  $W-N$ ;  $rgb/cmy0->r g b e$  setrgbcolor

+:-.		lmno		pqrs		tuvw	
xyz;		hijk		lmno		pqrs	
tuvw		defg		hijk		lmno	
pqrs		!abc		+:-.		hijk	
lmno		+:-.		xyz;		!abc	
hijk		tuvw		tuvw		xyz;	
defg		!abc		defg		defg	
!abc				!abc			
10							
						6	$N R_e G_e B_e Z$
				8			$N R_e G_e B_e Z$

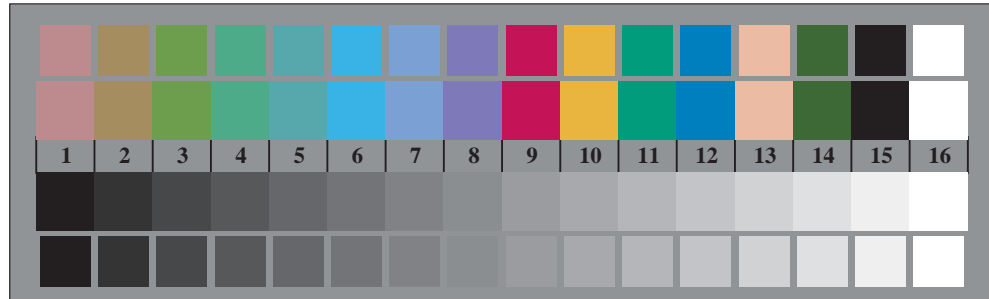
TI851-3, Fig. D5We: codice i Landolt anelli  $N$ ;  $R_e$ ;  $G_e$ ;  $B_e$ ;  $Z$ ; PS operator  $rgb \rightarrow rgb_e$ , setrgbcolor



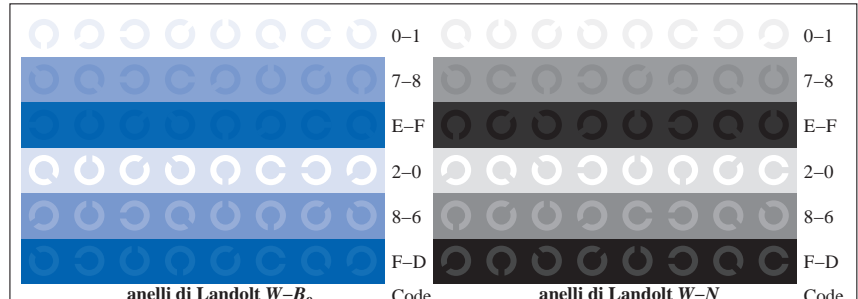
Tilcone Radiali  $W - Re$ ; Tilcone Radiali  $W - Ge$ ; Tilcone Radiali  $W - Be$ ; Tilcone Radiali  $W - N$ ; Tilcone Radiali  $W - Pb$



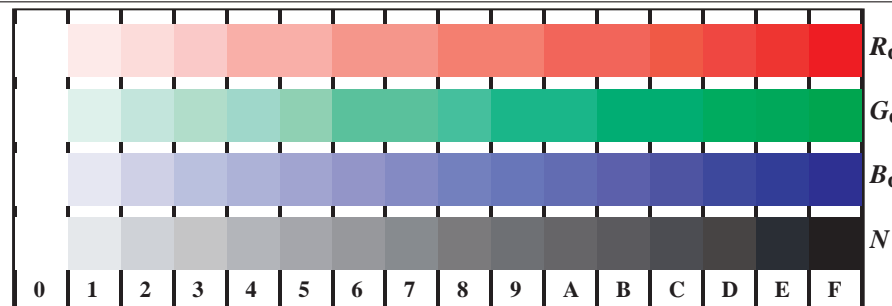
TI851-5, Fig. D6We: anelli di Landolt  $W-R_E$ ;  $W-G_E$ ; PS operator  $rgb \rightarrow rgb_E$  setrgbcolor



TI850-7, Fig. D3We: 14 prova colori CIE i 2 + 16 grigio passi (sf);  $rgb/cmy0 \rightarrow rgb_e$  setrgbcolor



TI851-7, Fig. D7We: anelli di Landolt  $W-B_e$ ;  $W-N$ ; PS operator  $rgb \rightarrow rgbe$  setrgbcolor



TI851-1, Fig. D4Wdd: 16 equidistante passi  $W-R_d$ ;  $W-G_d$ ;  $W-B_d$ ;  $W-N$ ;  $rgb/cmy0 \rightarrow rgb_{dd}$  setrgbcolor

+-.: Q	O	C	O	C	O	C	O	C	O	C	O	C	O	C	O	C	O	C	O	uvw	O	C	O	O
xyz;	O	O	O	O	O	O	O	O	O	O	O	O	O	O	O	O	O	O	O	pqr	O	C	O	O
tuvw	O	O	O	O	O	O	O	O	O	O	O	O	O	O	O	O	O	O	O	lmno	O	C	O	O
pqrs	O	O	O	O	O	O	O	O	O	O	O	O	O	O	O	O	O	O	O	hijk	O	C	O	O
lmno	O	O	O	O	O	O	O	O	O	O	O	O	O	O	O	O	O	O	O	+-.:	O	C	O	O
hijk	C	C	C	C	C	C	C	C	C	C	C	C	C	C	C	C	C	C	C	xyz;	O	C	O	O
defg	O	O	O	O	O	O	O	O	O	O	O	O	O	O	O	O	O	O	O	tuvw	O	C	O	O
!abc	O	O	O	O	O	O	O	O	O	O	O	O	O	O	O	O	O	O	O	defg	O	C	O	O
6	N	R <sub>d</sub>	G <sub>d</sub>	B <sub>d</sub>	Z																			
8	N	R <sub>d</sub>	G <sub>d</sub>	B <sub>d</sub>	Z																			
10	N	R <sub>d</sub>	G <sub>d</sub>	B <sub>d</sub>	Z																			

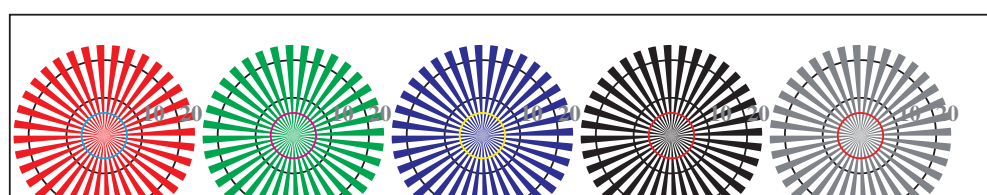
TI851-3, Fig. D5Wdd: codice i Landolt anelli  $N$ ;  $R_d$ ;  $G_d$ ;  $B_d$ ;  $Z$ ;  $PS$  operator  $rgb \rightarrow rgb_{dd}$  setrgbcolor

anelli di Landolt $W-R_d$	Code	anelli di Landolt $W-G_d$	Code
0-1		0-1	
7-8		7-8	
E-F		E-F	
2-0		2-0	
8-6		8-6	
F-D		F-D	

TI851-5, Fig. D6Wdd: anelli di Landolt  $W-R_d$ ;  $W-G_d$ ;  $PS$  operator  $rgb \rightarrow rgb_{dd}$  setrgbcolor

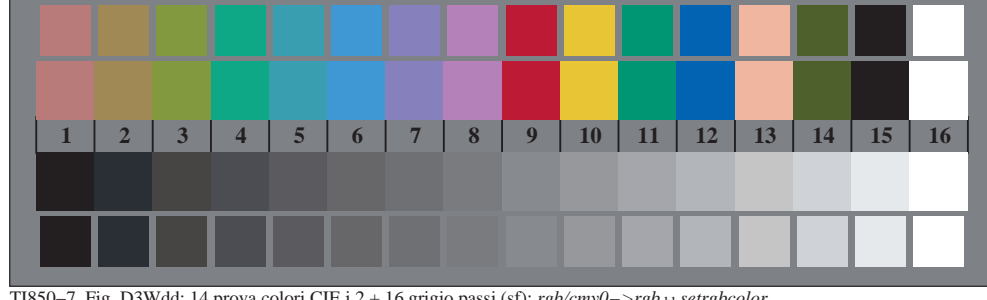
anelli di Landolt $W-B_d$	Code	anelli di Landolt $W-N$	Code
0-1		0-1	
7-8		7-8	
E-F		E-F	
2-0		2-0	
8-6		8-6	
F-D		F-D	

TI851-7, Fig. D7Wdd: anelli di Landolt  $W-B_d$ ;  $W-N$ ;  $PS$  operator  $rgb \rightarrow rgb_{dd}$  setrgbcolor

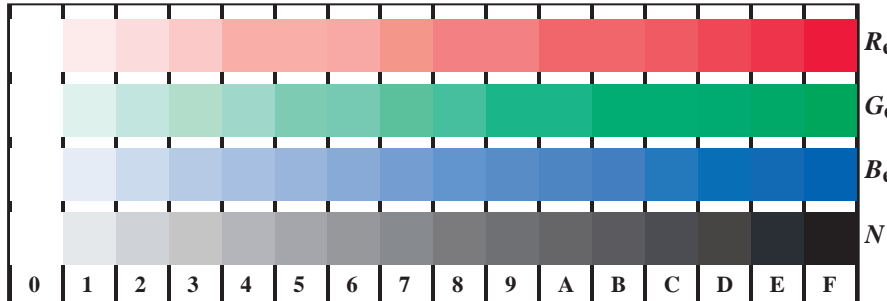


reticolli radiali  $W-R_d$  reticolli radiali  $W-G_d$  reticolli radiali  $W-B_d$  reticolli radiali  $W-N$  reticolli radiali  $W-Z$

TI850-5, Fig. D2Wdd: reticolli radiali  $W-R_d$ ;  $W-G_d$ ;  $W-B_d$ ;  $W-N$ ;  $PS$  operator  $rgb \rightarrow rgb_{dd}$  setrgbcolor



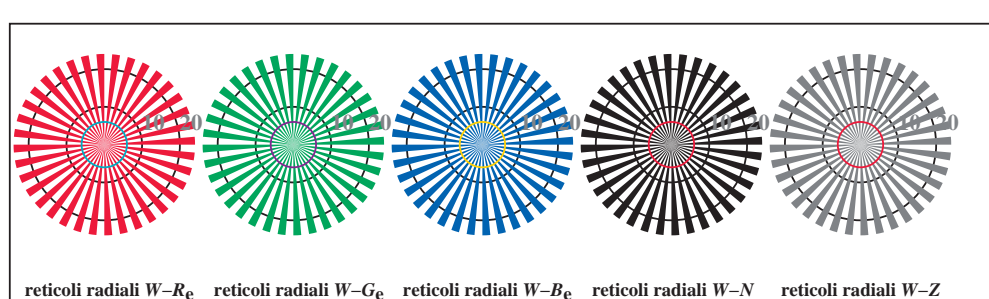
TI850-7, Fig. D3Wdd: 14 prova colori CIE i 2 + 16 grigio passi (sf);  $rgb/cmy0 \rightarrow rgb_{dd}$  setrgbcolor



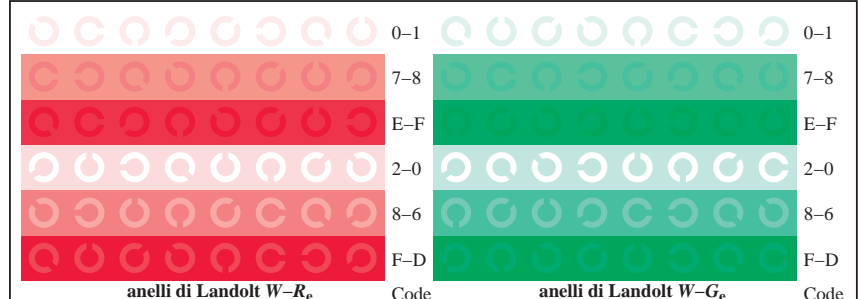
TI851-1, Fig. D4Wde: 16 equidistant passi  $W-R_E$ ;  $W-G_E$ ;  $W-B_E$ ;  $W-N$ ;  $rgb/cmy0 \rightarrow rgb_{de}$  setrgbcolor

+−:.		lmno		pqrs		tuvw	
xyz;		hijk		lmno		pqrs	
tuvwxyz		defg		hijk		lmno	
pqrs		!abc		!abc		hijk	
lmno		+−:.		+−:.		!abc	
hijk		xyz;		xyz;		tuvwxyz	
defg		tuvwxyz		defg		defg	
!abc		pqrs		!abc		!abc	
10				6		N R <sub>e</sub> G <sub>e</sub> B <sub>e</sub> Z	
			8			N R <sub>e</sub> G <sub>e</sub> B <sub>e</sub> Z	

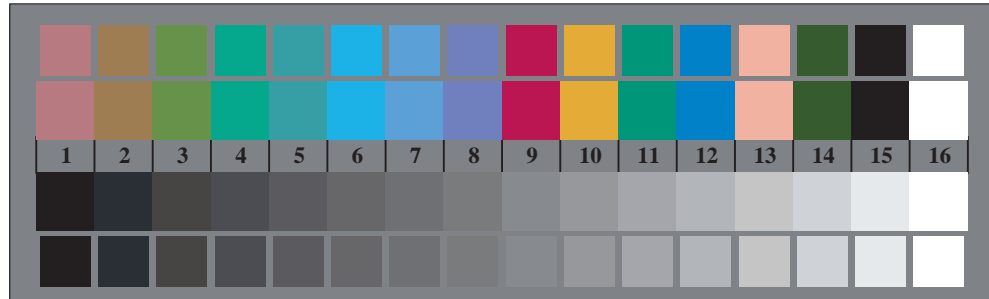
TI851-3, Fig. D5Wde: codice i Landolt anelli  $N$ ;  $Re$ ;  $Ge$ ;  $Be$ ;  $Z$ ;  $PS$  operator  $rgb \rightarrow rgb_{de} setrgbcolor$



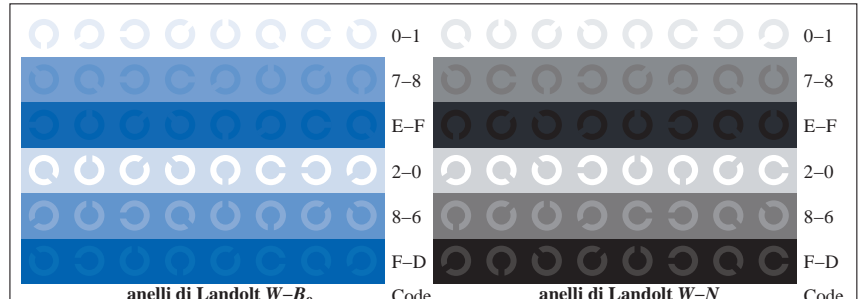
TI850-5, Fig. D2Wde: reticoli radiali  $W-R_E$ ;  $W-G_E$ ;  $W-B_E$ ;  $W-N$ ; PS operator  $rgb \rightarrow rgb_{de}$  setrgbcolor



TI851-5, Fig. D6Wde: anelli di Landolt  $W-R_E$ ;  $W-G_E$ ; PS operator  $rgb \rightarrow rgb_{de}$  setrgbcolor



TI850-7, Fig. D3Wde: 14 prova colori CIE i 2 + 16 grigio passi (sf);  $rgb/cmy0 \rightarrow rgb_{de} setrgbcolor$



TI851-7, Fig. D7Wde: anelli di Landolt W-B<sub>e</sub>; W-N; PS operator  $rgb \rightarrow rgb_{de}$  setrgbcolor